

УДК 539.2+546.76

©1993

## ЭЛЕКТРОННАЯ СТРУКТУРА ФЕРРОМАГНИТНОЙ ФАЗЫ $\text{CrO}_2$ : ЛППВ РАСЧЕТ

*А.В.Николаев, Б.В.Андреев*

Методом линейных присоединенных плоских волн (ЛППВ) с учетом спин-поляризованного расщепления зон проведены неэмпирические расчеты ферромагнитной фазы диоксида хрома  $\text{CrO}_2$  (структура рутила). Получено большое значение магнитного момента на хроме  $1.772 \mu_B$ , который формируется главным образом за счет спиновой поляризации  $d$ -состояний. Оказалось, что в электронной структуре диоксида хрома отсутствует щель запрещенных состояний между заполненной  $p$ -зоной кислорода и валентной  $d$ -зоной, которая присутствовала в электронных структурах  $\text{TiO}_2$  и  $\text{VO}_2$ . Обсуждаются особенности электронного строения диоксидов титана, ванадия и хрома и связанные с этим возможные механизмы перехода полупроводник-металл в  $\text{VO}_2$  и ферромагнитное упорядочение в  $\text{CrO}_2$ .

Как известно [1], диоксиды  $3d$  металлов  $\text{TiO}_2$ ,  $\text{VO}_2$  и  $\text{CrO}_2$ , кристаллизующиеся в структуру рутила, значительно отличаются друг от друга своими электронными свойствами:  $\text{TiO}_2$  — изолятор,  $\text{VO}_2$  — кристалл с переходом полупроводник-металл ( $T_c = 340$  К), а  $\text{CrO}_2$  является ферромагнетиком при  $T < T_c = 392$  К. Для объяснения причин такого различия физико-химических свойств данных диоксидов ранее были проведены расчеты электронной структуры  $\text{TiO}_2$  и  $\text{VO}_2$  [2] неэмпирическим зонным методом ЛППВ с полным потенциалом. Как при этом было показано,  $\text{TiO}_2$  является изолятором с большой щелью запрещенных состояний ( $\sim 3$  эВ — экспериментальные данные, 2 эВ — ЛППВ расчет). Химическая связь существенно ионная: электронный заряд перетягивается с титана (0.373) и межузельной области на кислород (0.256). Заполненная зона формируется за счет гибридизации  $p$ -состояний кислорода (общая заселенность которых составляет 3.418 на каждом кислородном центре) и части  $d$ -состояний титана (1.330 от каждого центра). Верхняя зона состоит в основном из  $d$ -состояний титана, которые переходят в плосковолновые состояния в межсферной области. При переходе от титана к ванадию общая схема формирования зон остается той же, ионная составляющая химической связи сохраняется, но, кроме того, добавляются два валентных электрона (на элементарную ячейку) в верхнюю  $d$ -зону. При этом энергетическая щель между валентной и заполненной зоной уменьшается до 0.62 эВ. Именно наличие нестабильной  $d$ -зоны по отношению к локализации  $d$ -электрона на каждом центре ванадия и приводит к переходу полупроводник-металл при 340 К [2].

В настоящей работе представлен анализ электронного строения ферромагнитной фазы кристаллического  $\text{CrO}_2$ , основанный на неэмпириче-

ских зонных расчетах. Расчет проводился методом ЛППВ [3,4] с учетом спин-поляризованного расщепления зон, моделирующего ферромагнитный зонный магнетизм, по методике, изложенной в работе [5]. Параметры решетки полагались следующими:  $A = 8.34564$  а.е.,  $C/A = 0.66059$ . Эти данные основаны на параметрах решетки  $\text{CrO}_2$ , приведенных в работе [6]. Радиусы маффин-тип (МТ) сфер составили  $R_{MT} = 2.0673$  а.е. для хрома и  $R_{MT} = 1.5$  а.е. для кислорода. Обменно-корреляционное взаимодействие учитывалось в приближении Барфа и Хедина [7]. Базис формировался из функций с векторами  $G_i$  исходя из условия  $G_i^2 \leq 164.4$  эВ, что составило в среднем 271 базисную функцию на одну точку в  $k$ -пространстве. Максимальная размерность базиса была 288. В процессе самосогласования обрабатывались 34 электронные зоны. Кроме того, при расчете  $\text{CrO}_2$  учитывалось подмагничивание кислородных  $p$ -зон.

Основные результаты расчетов приведены на рис. 1, 2 и в таблице. В диоксиде хрома, так же как и в  $\text{TiO}_2$  и  $\text{VO}_2$ , происходит перетягивание электронного заряда от хрома — по 0.153 от каждой МТ сферы — и межсферной области к кислороду, в результате чего электронный заряд на кислороде по сравнению с атомным возрастает на 0.199 внутри кислородной МТ-сферы. Расчеты показали, что магнитный момент на хроме необычно высокий и составляет 1.772 магнетонов Бора ( $\mu_B$ ). Погавляющий вклад в этот магнитный момент  $1.758\mu_B$  вносит расщепление  $d$ -состояний хрома (см. таблицу). Вклад остальных состояний хрома составляет всего  $0.014\mu_B$ . Отметим, что результирующий момент на хроме оказался большим: у металлического хрома в антиферромагнитной фазе магнитный момент составляет всего  $0.59\mu_B$  [8]. Магнитный момент хрома в  $\text{CrO}_2$  сравним по величине с максимальным моментом, который зафиксирован для чистых  $d$ -металлов ( $2.15\mu_B$ ) для ОЦК железа [5].

Большая величина магнитного момента, возможно, связана с пространственной удаленностью центров хрома друг от друга. Однако в отличие от  $4f$ -металлов ферромагнитное упорядочение формируется зонными, а не локализованными электронными состояниями. Поляризация  $d$ -состояний хрома приводит к возникновению магнитного момента в межузельной области  $0.412\mu_B$  в элементарной ячейке рутила и индуцирует частичную поляризацию кислородного центра  $0.077\mu_B$ . Основной вклад в магнитный момент кислорода ( $0.071\mu_B$ ) обусловлен поляризацией  $p$ -состояний. В результате на формульную единицу  $\text{CrO}_2$  приходится магнитный момент в  $2.132\mu_B$ , что подтверждается экспериментальными данными [9], а также проведенными ранее расчетами диоксида хрома методом присоединенных сферических волн (ПСВ) [10,11]. В отличие от работ [10,11] в проделанных нами вычислениях кислород оказался поляризован в том же направлении, что и кислородные центры (см. таблицу). С другой стороны, величина магнитного момента хрома оказалась несколько ниже приведенного в этих работах значения порядка  $2\mu_B$ . Это обстоятельство, однако, целиком обусловлено используемым в методе ПСВ так называемым приближением атомной сферы (ПАС), когда из рассмотрения полностью удаляется межсферная область, а радиусы МТ-сфер хрома и кислорода соответствующим образом увеличиваются. В результате к центрам хрома эффективно добавляется часть магнитного момента, которая в действительности обусловлена намагниченностью межсферной области.

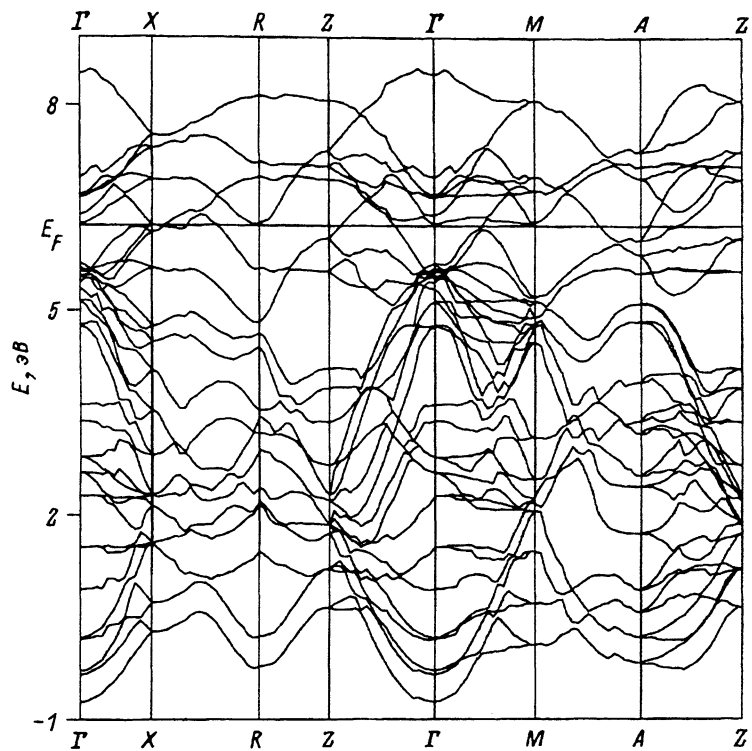


Рис. 1. Электронная зонная структура ферромагнитной фазы  $\text{CrO}_2$  для двух направлений спина.

Один из наиболее интересных результатов заключается в отсутствии щели запрещенных состояний в  $\text{CrO}_2$  (рис. 1,2), которая наблюдалась в зонной структуре  $\text{TiO}_2$  и  $\text{VO}_2$ . Это можно объяснить, очевидно, двумя причинами. Во-первых, как уже отмечалось, при переходе от диоксида титана к диоксиду ванадия ширина щели значительно уменьшается. То же происходит и при переходе от диоксида ванадия к  $\text{CrO}_2$  в результате "утяжеления" верхней  $d$ -зоны за счет увеличения ее заселенности по сравнению с  $\text{VO}_2$ . Во-вторых, расщепление верхних зонных  $d$ -состояний

Распределение парциального заряда в диоксиде хрома  
Для хрома и кислорода заряды приведены для области  
внутри соответствующей МТ-сферы, заряд вне МТ-сфер  
приведен для всей элементарной ячейки рутила

Область	Спин	$s$	$p$	$d$	$f$	Вся ячейка	Момент, $\mu_B$
Cr	↑	0.075	0.111	2.691	0.025		
	↓	0.064	0.107	0.934	0.024		1.772
	↑	0.011	1.638	0.006	0.001		
O	↑	0.010	1.566	0.002	0.001		0.077
Вне	↑					4.358	
МТ-сфер	↓					3.946	0.412

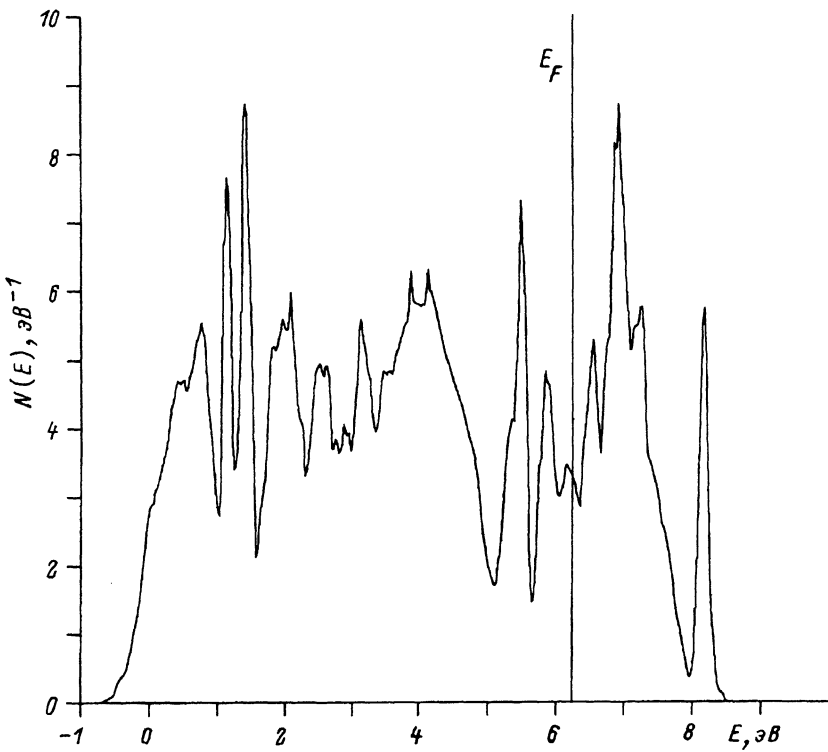


Рис. 2. Плотность электронных состояний  $N(E)$  для двух направлений спина для ферромагнитной фазы  $\text{Cr}_2$ .

По оси  $y$  приведены значения  $N(E)$ , нормированные на элементарную ячейку рутила.

со спином вверх и вниз составляет величину порядка 1 эВ, расщепление нижней зоны в несколько раз меньше. Оба этих фактора приводят к перекрыванию верхней зоны для компоненты со спином вверх ( $\uparrow$  в таблице) и нижней зоны и увеличению эффективной гибридизации  $p$ -состояний кислорода и  $d$ -состояний хрома. Однако щель запрещенных состояний сохраняется в энергетическом спектре диоксида хрома для другого направления спина [10–12]. Более того, уровень Ферми лежит в этой энергетической щели, а это приводит к тому, что ниже уровня Ферми все зонные состояния поляризованы в одном направлении. Это позволяет рассматривать  $\text{CrO}_2$  как полуферромагнетик [12].

Рассчитанная плотность электронных состояний в диоксиде хрома составила 3.31 эл.состояний/(эВ · эл.ячейку рутила) или 3.9 мДж/( $K^2 \cdot$  моль  $\text{CrO}_2$ ). Для сравнения плотность состояний парамагнитного хрома составляет 0.71 эл.состояний/(эВ · эл.ячейку) или 1.67 мДж/( $K^2 \cdot$  моль). Вместе с тем особенностью фотоэмиссионных данных по диоксиду хрома является отсутствие ярко выраженного спада, который соответствует уровню Ферми [12]. Это, очевидно, противоречит довольно большому значению плотности электронных состояний, приведенному выше. Авторы работы [12] интерпретировали полученные результаты в рамках пред-

ствлений о локализованных спиновых моментах. Однако непонятно, как это согласуется с металлической проводимостью диоксида хрома.

В заключение обсудим общий вывод, который следует из сопоставления электронных структур  $TiO_2$ ,  $VO_2$  и  $CrO_2$ . При переходе по этому ряду слева направо заселенность электронных состояний в верхней валентной  $d$ -зоне возрастает и составляет соответственно 0, 2 и 4 электрона на элементарную ячейку рутила. Так как верхняя зона формируется в основном за счет  $d$ -состояний металлических центров, которые удалены друг от друга и находятся на грани перехода в локализованные состояния, то эта  $d$ -зона является нестабильным электронным образованием. Так, у  $VO_2$  на центр ванадия приходится один  $d$ -электрон и при низких температурах становится энергетически выгодным механизм разрушения валентной  $d$ -зоны с образованием локализованных взаимодействующих электронных уровней на центрах ванадия, которые приводят к искашению структуры рутила [2]. У  $CrO_2$  в верхней зоне  $d$ -электронов больше, чем у диоксида ванадия, а щель запрещенных состояний значительно уменьшается, в результате чего  $d$ -состояния более эффективно взаимодействуют с  $p$ -состояниями кислорода. В этих условиях локализации  $d$ -состояний не происходит. Кроме того, при локализации  $d$ -состояний на центре хрома оказалось бы по два электрона, что привело бы к сильному одноСентровому отталкиванию и увеличению полной энергии системы. Поэтому для диоксида хрома при низких температурах происходит только частичная поляризация  $d$ -зон, которая приводит к образованию ферромагнитного основного состояния.

Настоящая работа выполнена в рамках научного проекта, финансируемого согласно постановлению Президиума АН СССР от 28.12.90 №1335 (Проект №26).

### Список литературы

- [1] Рао Ч.Н.Р., Гопалакришнан Дж. Новые направления в химии твердого тела. Новосибирск, 1990. С. 519.
- [2] Николаев А.В., Кострубов Ю.Н., Андреев Б.В. // ФТТ. 1992. Т. 34. № 10. С. 3011-3018.
- [3] Andersen O.K. // Phys. Rev. B. 1975. V. 12. P. 864.
- [4] Koelling D.D., Arbman G.O. // J. Phys.F. 1975. V. 5. P. 2041.
- [5] Николаев А.В., Зураева И.Т., Ионова Г.В., Андреев Б.В., в печати.
- [6] Burdett J.K., Miller G.J., Richardson Jr.J.W., Smith J.V. // J. Amer. Chem. Soc. 1988. V. 110. P. 8064-8071.
- [7] V.von Barth, Hedin L. // J. Phys. C. 1972. V. 5. P. 1629.
- [8] Kübler J. // J. Magn. and Magn. Mater. 1980. V. 20. P. 277-284.
- [9] Kubota B. // J. Phys. Soc. Japan. 1960. V. 16. P. 1706.
- [10] Schwarz K. // J. Phys. F. 1986. V. 16. P. L211-L215.
- [11] Matar S., Demazeau G., Sticht J., Eyert V., Kübler J. // J. Phys. France. 1992. V. 2. P. 315-328.
- [12] Kamper K.P., Schmitt W., Güntherodt, Gambino R.J., Ruf R. // Phys. Rev. Lett. 1987. V. 59. P. 2788-2791.

Институт физической химии РАН  
Москва

Поступило в Редакцию  
8 октября 1992 г.